

مکان‌یابی و ایجاد نقشه همزمان در محیط گلخانه با استفاده از بینایی استریو

زهراء خسرویگی^۱، شاهین رفیعی^{۲*}، سید سعید محتسبی^۳، امین نصیری^۴

تاریخ دریافت: ۱۳۹۷/۱۰/۱۳

تاریخ پذیرش: ۱۳۹۷/۱۲/۱۵

چکیده

مکان‌یابی و ایجاد نقشه همزمان (SLAM) گامی ضروری در خودکار نمودن عملیات‌های کشاورزی و در نتیجه اعمال کشاورزی دقیق می‌باشد. در این تحقیق با استفاده از یک دوربین استریو به مکان‌یابی و ایجاد نقشه همزمان در محیط گلخانه با استفاده از چارچوب راس پرداخته شد. قبل از تهیه تصاویر استریو از محیط گلخانه دوربین کالیبره شده و مسیر حرکت دوربین در گلخانه طراحی شده دارای طول ۳۲/۷ متر و تعداد تصاویر گرفته شده در این مسیر ۱۵۰ جفت تصویر استریو بود. جهت ارزیابی الگوریتم طراحی شده، میزان خطای مکان‌های تخمین زده شده بهوسیله الگوریتم با مکان‌های واقعی دوربین استریو با استفاده از فاصله اقلیدسی محاسبه شد. نتایج حاصل از این تحقیق نشان داد که الگوریتم معرفی شده دارای میانگین خطای مکان‌یابی ۰/۰۴۵۶۴۳۱ متر، انحراف معیار ۰/۰۶۷۹۴۱۲ متر، و ریشه میانگین مربع خطای ۰/۰۰۷۵۵۶۹ متر برای مسافت ۳۲/۷ متری پیموده شده توسط دوربین استریو می‌باشد.

(SLAM) واژه‌های کلیدی: بینایی استریو، راس، گلخانه، مکان‌یابی و ایجاد نقشه همزمان

مقدمه

مسئله SLAM یک فرآیند تخمین بازگشتی بوده که با استفاده از آن می‌توان میزان خطای در نقشه و مکان‌یابی ربات را به حداقل رساند (Auta Cheein *et al.*, 2011). بر همین اساس الگوریتم‌های متنوعی جهت حل این مسئله گسترش پیدا کرده است که نوع این الگوریتم‌ها به علت تنوع در به کارگیری حسگرهای مختلف، تنوع در نوع محیط و نوع نقشه تهیه شده از این محیط‌ها می‌باشد (Leonard and Durrant-Whyte, 1991; Montemerlo *et al.*, 2002; Eliazar, 2003; Estrada *et al.*, 2005; Eliazar and Parr, 2004).

اما در حالت کلی الگوریتم‌های SLAM به دو دسته برخط^۶ و کامل^۷ طبقه‌بندی می‌شوند (Thrun *et al.*, 1998). در روش SLAM برخط، مکان ربات (x_t) در هر گام (t) و نقشه محیط (m) با به کارگیری مشاهدات محیط ($z_{1:t}$) و داده‌های کنترلی ربات ($u_{1:t}$) از ابتدا حرکت تا گام t و با استفاده ازتابع احتمال نشان داده شده در رابطه (۱) تخمین زده می‌شود (Thrun *et al.*, 2005):

$$p(x_t, m | z_{1:t}, u_{1:t}) \quad (1)$$

فیلتر کالمون و فیلتر کالمون توسعه یافته از جمله الگوریتم‌های جهت حل مسئله SLAM برخط می‌باشند (Leonard and Durrant-Whyte, 1991). این فیلترها با استفاده از توزیع گوسی به تخمین موقعیت ربات و بهروزرسانی نقشه می‌پردازند. از معایب این فیلترها پیچیدگی فرآیند بهروزرسانی و عملیات خطی‌سازی برای فرآیندهای غیرخطی می‌باشند (Thrun *et al.*, 2005). جهت بر طرف کردن این معایب الگوریتم Fast SLAM بر مبنای فیلتر ذره‌ای

به کارگیری کشاورزی دقیق در تولید محصولات کشاورزی امری غیر قابل اجتناب در افزایش راندمان این محصولات می‌باشد. اعمال کشاورزی دقیق نیازمند به کارگیری نیروی کارگری فراوان است. همچنین به علت خطرپذیر بودن اغلب عملیات‌های کشاورزی، انجام مستقیم آن توسط انسان توصیه نمی‌شود. به همین دلیل، خودکار نمودن عملیات‌های کشاورزی امری ضروری است. اولین گام در خودکار نمودن عملیات‌های کشاورزی، هدایت خودکار وسیله نقلیه می‌باشد. این امر در صورتی میسر می‌شود که وسیله نقلیه در یک محیط ناشناخته به شناسایی آن محیط پرداخته و در عین حال مکان خود را در این محیط پیدا کند. به عبارتی، باید قابلیت تهیه نقشه از محیط و در عین حال مکان‌یابی در این محیط را داشته باشد (Li *et al.*, 2008). این مهم بهوسیله مسئله مکان‌یابی و ایجاد نقشه همزمان^۸ (SLAM) قابل حل می‌باشد (Thrun *et al.*, 1998).

(RGB-D) مشکلات موجود در رابطه با به کارگیری لیزر اسکنر را مرفوع نموده است. در VSLAM مکان‌یابی ربات با استفاده از شناخت (Diebel *et al.*, 2004) ویژگی‌های محیط به دست می‌آید (Kim *et al.*, 2005) به کارگیری تک دوربین به علت عدم تخمین موقعیت سه‌بعدی ویژگی‌های محیط دارای کمبود می‌باشد (Grisetti *et al.*, 2010). جهت حل این مشکل می‌توان از دوربین استریوو استفاده نمود. بینایی استریوو به معنای توانایی استخراج عمق براساس تحلیل دو تصویر گرفته شده از زوایای مختلف یک صحنه می‌باشد. مزیت اصلی بینایی استریوو نسبت به بینایی یک چشمی معمولی توانایی آن در شناسایی فاصله بین اشیاء واقعی و دوربین است. دوربین یک چشمی تصویر مسطحی ایجاد می‌کند که در آن هر پیکسل نتیجه افکنش دو بعدی جهان سه‌بعدی است. به عبارتی، سامانه استریوو، یک جفت از تصاویر دیجیتالی را که به طور همزمان به وسیله یک دوربین استریوو به دست آمده‌اند به یکدیگر ارتباط داده و اشیاء مشابه در هر دو تصویر را شناسایی کرده و تفاوت موقعیت آن‌ها را به صورت پیکسل اندازه‌گیری می‌کند. این تفاوت هموار با سایر پارامترها، سامانه را قادر به بازسازی Mousazadeh صحنه واقعی یک تصویر مجازی سه‌بعدی می‌نماید (and Javan bakht, 2015). رایج‌ترین الگوریتم SLAM که براساس RTAB-Map حس‌گرهای بینایی سه‌بعدی توسعه پیدا کرده است، RTAB-Map می‌باشد. RTAB-Map یک روش گراف-مبنا بوده که قابلیت تشخیص لوب کلوزر را دارد می‌باشد. به عبارت دیگر در این الگوریتم بعد از تشخیص لوب کلوزر، محدودیت جدید به گراف اضافه شده و در نهایت نقشه تهیه شده با استفاده از یک بهینه‌کننده گراف اصلاح شده و خطاهای موجود در آن را به حداقل می‌رساند. این الگوریتم قادر است تنها با استفاده از یک دوربین استریوو نقشه‌ی جامعی از محیط تهیه کند.

در سال‌های اخیر استفاده از مسئله مکان‌یابی و ایجاد نقشه همزمان جهت ناوبری خودکار در محیط‌های کشاورزی مورد توجه محققین قرار گرفته است. در سال ۲۰۱۱، الگوریتمی بر مبنای فیلتر اطلاعات توسعه‌یافته^۱ جهت ناوبری خودکار در باغ زیتون توسعه داده شد. جهت طراحی الگوریتم از اطلاعات یک دوربین و یک لیزر اسکنر استفاده شد. الگوریتم براساس تشخیص ساقه‌های زیتون در تصاویر گرفته شده با استفاده از الگوریتم ماشین بردار پشتیبان^۲ عمل می‌کرد. همچنین از یک روش بهینه‌کننده سراسری جهت کاهش خطاهای الگوریتم استفاده شد (Auta Cheein *et al.*, 2011). در پژوهشی دیگر، با استفاده از یک دوربین و لیزر اسکنر الگوریتمی جهت مکان‌یابی و ایجاد نقشه همزمان ربات در محیط‌های کشاورزی طراحی شد. دامنه فرکانس و همیستگی برای الگوریتم طراحی شده

Rao-Blackwellized ذره‌ای جهت تخمین مکان ربات و از فیلتر کالمون توسعه یافته جهت به روزرسانی نقشه محیط استفاده شده است (Montemerlo *et al.*, 2002).

برخلاف SLAM برخط، SLAM کامل مسیر حرکت کلی ربات ($x_{1:t}$) را تخمین می‌زند. Graph-SLAM یکی از الگوریتم موجود Graph-SLAM به شکلی است که از یک گراف با گره‌ها و یال‌ها تشکیل شده که گره‌ها نمایان گر مکان ربات و یال‌ها محدودیت‌های اعمال شده بین مکان‌ها را نمایش می‌دهند (Grisetti *et al.*, 2010). ادومتری^۳ و لوب کلوزر^۴ از جمله محدودیت‌هایی هستند که در یال‌ها به شکل ماتریس تبدیل (دوران و انتقال) و ماتریس کوواریانس نمایان می‌شوند. الگوریتم Graph-SLAM با اعمال این محدودیت‌ها و با استفاده از یک بهینه‌کننده سراسری، مسیر حرکت کلی ربات و همچنین نقشه محیط را بهینه می‌کند (Pierzchała *et al.*, 2018). در حل مسئله SLAM الگوریتم‌های متنوع براساس نوع حس‌گر به کار رفته توسعه پیدا کرده‌اند. لیزر اسکنر رایج‌ترین حس‌گری است که در حل این مسئله استفاده می‌شود. از مهم‌ترین این الگوریتم‌ها که با استفاده از لیزر اسکنر توسعه پیدا کرده‌اند Gmapping و Hector mapping روش استاندارد بوده که بر پایه فیلتر ذره‌ای Rao-Blackwellised به مکان‌یابی و ایجاد نقشه همزمان می‌پردازد. هدف از این روش کاهش تعداد ذره‌ها و در عین حال افزایش میزان دقت الگوریتم می‌باشد. این الگوریتم با استفاده از داده‌های قبلی لیزر اسکنر منجر به کاهش عدم قطعیت مکان‌یابی شده و در نهایت مکان دقیق ربات را در محیط برآورد می‌کند (Grisetti *et al.*, 2007; Grisetti *et al.*, 2005).

Hector mapping یک روش بهینه‌شده برای راهروهای باریک و محیط‌های پیچیده می‌باشد. این الگوریتم نیازمند داده‌های اضافی براساس ادومتری^۵ نبوده و بدون این داده‌ها هم دارای دقت کافی می‌باشد. این الگوریتم برای تعريف مکان فعلی ربات از روش انطباق-اسکن و فیلتر نیوتون-گوسی براساس توزیع ذره‌ها استفاده می‌کند. همچنین این الگوریتم قابلیت تولید نقشه‌های چند لایه را دارد (Kohlbrecher *et al.*, 2013; Kohlbrecher *et al.*, 2011).

به کارگیری لیزر اسکنر دارای محدودیت‌هایی می‌باشد که از جمله می‌توان به دقت فضایی کم، زمان داده‌برداری زیاد و قیمت بالای آن اشاره کرد. حل مسئله SLAM با استفاده از حس‌گرهای بینایی^۶ (VSLAM) (تک دوربین، یک دوربین استریوو و یا یک دوربین

1- Odometry

2- Loop clouser

3- Odometry

4- Vision-based SLAM (V SLAM)

آلومینیومی به ابعاد $۵\times ۷\times ۳۰$ سانتی‌متر استفاده نمودند. در طول شمش آلومینیومی متناسب با ابعاد دوربین، شیارهایی به فواصل ۵، ۱۰، ۱۵ و ۲۰ سانتی‌متر ایجاد شده بود. انتخاب خطمنی مناسب یک فرآیند بهینه‌سازی بین دقت و انطباق می‌باشد به همین دلیل با آزمون و خطا فاصله دو دوربین ۱۰ سانتی‌متر در نظر گرفته شد (Nasiri, 2017). جهت تصویربرداری استریو، دوربین استریو توسعه داده شده بر روی پایه دوربین با ارتفاع تقریبی ۷۵ سانتی‌متر قرار داده شده و به کامپیوتر متصل شد و جهت تهییه تصاویر، به داخل محیط گلخانه انتقال یافت.

طراحی الگوریتم

در این تحقیق جهت مکان‌یابی و ایجاد نقشه همزمان از محیط گلخانه با استفاده از بینایی استریو، از چارچوب راس^۲ در محیط اوبونتو^۳ استفاده شد. راس شامل کتابخانه‌ها و ابزارهای مختلف از جمله بسته‌ها^۴ و نرم‌افزارهای متن باز^۵ جهت به کارگیری در زمینه‌های مختلف رباتیک می‌باشد (Lepej and Rakun, 2016). همچنین راس دارای ساختار شبکه‌ای بوده که باعث ارتباط بین قسمت‌های مختلف الگوریتم به وسیله گره‌ها^۶ می‌شود. شکل ۲ طرح کلی الگوریتم طراحی شده، گره‌های به کار برده شده و نحوه ارتباط آن‌ها با یکدیگر را نمایش می‌دهد.

کالیبراسیون دوربین

در مرحله اول قبل از اجرای الگوریتم، نیاز است که دوربین استریو کالیبره شود. دقت بازیابی سه‌بعدی در فرآیند بینایی استریو تحت تاثیر پارامترهای متعددی است که عمدتاً در طی فرآیند کالیبراسیون تعیین می‌گردد (Nasiri et al., 2016). در این تحقیق از روش ارائه شده توسط ژنگ^۷ برای کالیبراسیون دوربین‌ها استفاده شد. در این روش اختشاشات ناشی از نقص لنز دوربین برای مدل دوربین در نظر گرفته می‌شود (Zhang, 1999).

سیستم تصویربرداری بعد از انتقال به گلخانه و قبل از تهییه تصاویر استریو از این محیط، کالیبره شد. برای این منظور از یک صفحه شترنجی 7×6 با ابعاد ۳۳ میلی‌متر برای هر مربع به عنوان الگوی کالیبراسیون استفاده شد. تصویربرداری از الگو در فواصل و جهت‌های مختلف نسبت به دوربین انجام گرفت. در طی فرآیند کالیبراسیون محل تقاطع مربع‌های سیاه و سفید (گوشه‌ها) به عنوان نقاط کنترلی به کمک الگوریتم‌های گوشه‌یابی با دقت زیر پیکسل تعیین، سپس با تخمین مختصات سه‌بعدی نقاط انتخاب شده و حل دستگاه معادلات کالیبراسیون، پارامترهای داخلی، خارجی و ضرایب

استفاده شد. میزان جایه‌جایی ربات با اندازه‌گیری میزان جایه‌جایی و دوران دو گام متوالی محاسبه شد (Lepej and Rakun, 2016). در سال ۲۰۱۶، از الگوریتم مکان‌یابی و ایجاد نقشه همزمان در یک ربات تک چشمی جهت برداشت فلفل دلمهای استفاده شد. جهت برآورد این هدف از الگوریتم LSD-SLAM استفاده شد که این الگوریتم با استفاده از یک دوربین به مکان‌یابی و ایجاد نقشه همزمان ربات می‌پرداخت (Barth et al., 2016).

به دلیل محدود بودن پژوهش‌های انجام شده در زمینه مکان‌یابی و ایجاد نقشه همزمان در محیط‌های کشاورزی، هدف از این پژوهش، مکان‌یابی و ایجاد نقشه همزمان در محیط گلخانه با استفاده از بینایی استریو و در نتیجه ایجاد نقشه سه‌بعدی و دو بعدی از این محیط می‌باشد.

مواد و روش‌ها

سیستم تصویربرداری

سیستم تصویربرداری مورد استفاده در این پژوهش از قسمت‌های اصلی دوربین استریو، پایه دوربین و کامپیوتر تشکیل شده بود (شکل ۱). دوربین استریو توسعه داده شده به وسیله نصیری و همکاران جهت تصویربرداری استریو از گلخانه مورد استفاده قرار گرفت (Nasiri et al., 2016). دوربین استریو شامل دوربین‌ها و قاب دوربین بود. دوربین‌های مورد استفاده در این سیستم شامل دو وب‌کم ساخت شرکت ماکروسافت^۸ با رزولوشن تصویربرداری ۹۶۰×۵۴۴ پیکسل بودند که از طریق USB2 به کامپیوتر متصل می‌شدند.



شکل ۱ - سیستم تصویربرداری توسعه داده شده

Fig.1. The image acquisition system

برای ساخت قاب دوربین استریو به طوری که امکان انتخاب خطمنی متفاوت بین دو دوربین وجود داشته باشد، از یک شمش

2- Robot Operating System (ROS)

3- Ubuntu 14.04 LTS

4- Package

5- Open source software

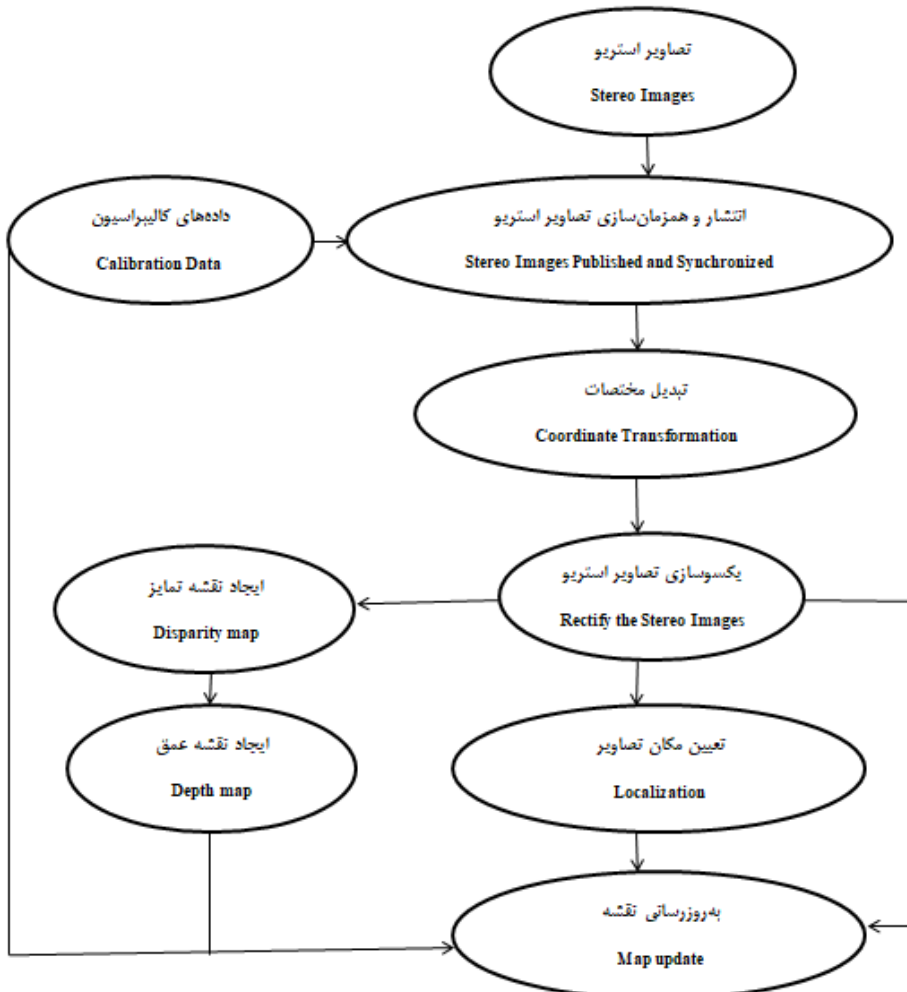
6- Nodes

7- Zhang

1- Microsoft lifecam studio webcam

Camera-calibration_ros (نتیجه کالیبراسیون، استفاده شد) .(software package)

اعوجاج استخراج شد (Zhang, 1999). برای ارزیابی دقت کالیبراسیون از خطای اپیپولار و پارامترهای خارجی استخراج شده از



شکل ۲- طرح کلی الگوریتم طراحی شده
Fig.2. Design of the algorithm

مختصات این نقاط، مسیر حرکت دوربین استریو طراحی شد. مسیر طراحی شده شامل مسیرهای مستقیم و منحنی بوده و طول تقریبی آن ۳۲/۷ متر بود. شکل ۴ نقشه شماتیک گلخانه و همچنین مسیر طراحی شده جهت حرکت دوربین استریو را با خطوط قرمز نمایش می‌دهد. در نهایت مسیر طراحی شده در گلخانه جهت حرکت دوربین استریو در مسیرهای مستقیم با گام ۱۰ سانتی‌متر و در مسیرهای منحنی با گام ۶ درجه پیاده‌سازی شد. بعد از فرآیند کالیبراسیون، سیستم تصویربرداری در مسیر طراحی شده در گلخانه در گام‌های مشخص به صورت دستی جابه‌جا شده و بعد از هر جابه‌جایی در حالی که پایه دوربین در موقعیت خود ثابت بود تصاویر استریو تهیه شدند.

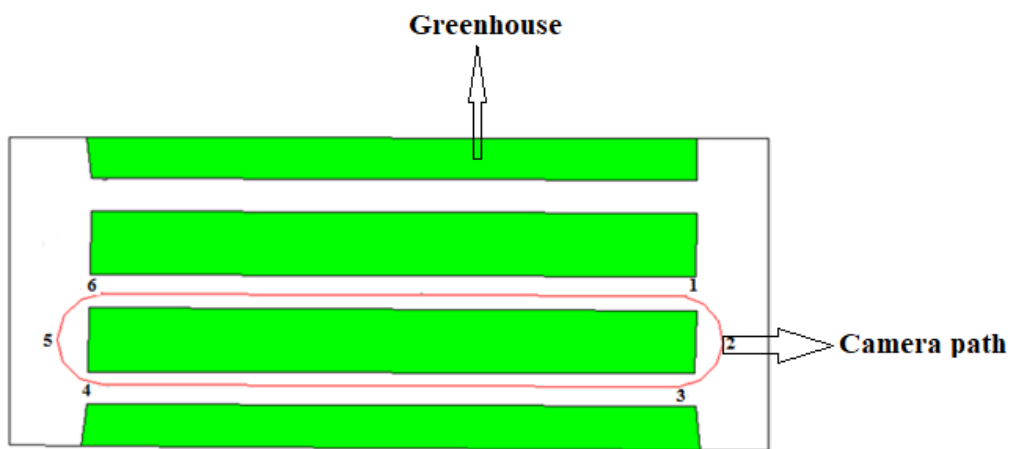
تصاویر استریو

مکان‌یابی و ایجاد نقشه همزمان برای یک قسمت از گلخانه‌ای به ابعاد تقریبی ۱۹×۶/۵ متر و دارای ۴ بستر کشت مستطیلی واقع در شهر اراک انجام شد (شکل ۳). بسترها کشت شامل قلمه‌های گونه‌های مختلف گل رز، شمشاد و همچنین دارای مکان‌های کشت نشده بودند که گلدان‌هایی در این مکان‌ها قرار داده شد.

قبل از ثبت تصاویر استریو در محیط گلخانه، مسیر حرکت دوربین در این محیط طراحی شد. برای این منظور یک مسیر در محیط گلخانه در نظر گرفته شد و نقاطی در این مسیر مشخص شد. با استفاده از دوربین نقشه برداری توقال استیشن مدل لایکا^۱ و تعیین



شکل ۳- گلخانه مورد پژوهش
Fig.3. Greenhouse research



شکل ۴- نقشه شماتیک کل گلخانه و مسیر طراحی شده جهت حرکت سیستم تصویربرداری در قسمت مشخص شده
Fig.4. Greenhouse schematic map and the path of the image acquisition system in the specific section

(Kaeler, 2008). جهت ایجاد نقشه از محیط نیاز است که محور مختصات تصاویر منتشر شده به محور مختصات جهانی تبدیل شود به طوری که محور X به سمت جلو، محور Y به سمت چپ و محور Z به سمت بالا باشد. به همین منظور گرهای جهت تبدیل محورهای مختصات تصاویر استفاده می‌شود. این گره با در نظر گرفتن نقطه شروع حرکت دوربین سمت چپ به عنوان مبدأ مختصات جهانی، تبدیل مختصات جهانی تصاویر منتشر شده را انجام می‌دهد.

یکسوزایی تصاویر استریو

جهت تعیین مکان تصاویر و تهیه نقشه از محیط نیاز است که تصاویر استریو یکسوزایی شود. در این تحقیق از روش ارائه شده توسط بوگت برای یکسوزایی تصاویر استفاده شده است. این الگوریتم از پارامترهای انتقال و دوران دو دوربین تنظیم شده برای یکسوزایی استفاده می‌کند (Bradski and Kaeler, 2008).

انتشار و همزمان‌سازی تصاویر استریو

جهت استفاده تصاویر بهوسیله چارچوب راس نیاز است که تصاویر با فرمت مشخص شده در این چارچوب ارسال گردد. همچنین نیاز است که تصاویر راست و چپ گرفته شده بهوسیله دوربین استریو بعد از انتشار همزمان‌سازی شود. به همین منظور، گرهای جهت انتشار و همزمان‌سازی تصاویر استریو در نظر گرفته شد. با استفاده از این گره می‌توان تصاویر استریو را با نرخ مشخصی به صورت همزمان منتشر کرد. در این تحقیق، تصاویر استریو با نرخ ۱ هرتز انتشار و همزمان‌سازی شدند.

تبدیل مختصات

تصاویر استریو منتشر شده دارای مختصات دوربین می‌باشند. مختصات دوربین به صورتی است که محور X به سمت راست، محور Y به سمت پایین و محور Z به سمت جلو می‌باشد (Bradski and

افزایش دقیق تخمین می‌شود (Nister, 2003). بعد از تخمین بردار جابه‌جایی و ماتریس دوران قاب به قاب، موقعیت قاب (دوربین) در لحظه جاری نسبت به مبدأ توسط رابطه (۲) تعیین می‌شود (Craig, 2005). در تحقیق جاری، نقطه شروع حرکت دوربین سمت چپ به عنوان مبدأ جهانی در نظر گرفته شده است.

$$\begin{aligned} {}^t_0frame &= {}^{t-1}_0frame \times {}_{t-1}^tframe \\ {}_{t-1}^tframe &= \begin{bmatrix} R_{3 \times 3} & T_{3 \times 3} \\ 0 & 1 \end{bmatrix}_{4 \times 4} \end{aligned} \quad (2)$$

در رابطه (۲)، t_0frame ، موقعیت دوربین در لحظه جاری نسبت به مبدأ جهانی مختصات، T بردار جابه‌جایی و R ماتریس دوران فریم در لحظه t نسبت به فریم در لحظه $t-1$ می‌باشند که از تخمین میزان حرکت قاب به قاب تصاویر به دست آمده است.

به روزرسانی نقشه

با استفاده از الگوریتم SLAM نقشه محلی محیط در هر گام به دست آمده و با داشتن مکان تصاویر در هر گام، نقشه محلی به روزرسانی می‌شود. در این تحقیق از الگوریتم RTAB-Map جهت تحقق این عمل استفاده شده است (Labbé and Michaud, 2011; Labbé and Michaud, 2013; Labbé and Michaud, 2014). تولید نقشه محلی با استفاده از الگوریتم RTAB-Map و دستیابی به مختصات نقاط محیط و به دست آوردن مدل سه‌بعدی آن، با استفاده از انطباق تصاویر راست و چپ، به دست آوردن تصویر ناهم‌خوانی (نقشه تمایز^۱) و در نهایت بازیابی مدل سه‌بعدی محیط از این نقشه انجام می‌شود. روش‌های مختلفی برای انجام مرحله انطباق در این الگوریتم پیشنهاد می‌شود. در این تحقیق از الگوریتم انطباق بلوکی^۲ استفاده شد. از ویژگی‌های منحصر به فرد این روش سرعت بالای آن در انطباق تصاویر و استخراج مدل سه‌بعدی می‌باشد (Bradski and Kaehler, 2008). با در اختیار داشتن نقشه تمایز و اطلاعات مربوط به دوربین‌ها و هندسه سامانه تصویربرداری، مختصات سه‌بعدی اجزای محیط با استفاده از روش مثبتاتی تعیین می‌شود (Cyganeck and Siebert, 2009).

در نهایت با در اختیار داشتن مکان تصویر در هر گام و همچنین نقشه محلی، با استفاده از الگوریتم RTAB-Map دو نوع نقشه‌ی سه‌بعدی متراکم^۳ و شبکه اشغال^۴ از محیط گلخانه استخراج شد. نقشه سه‌بعدی متراکم یک نقشه نقاط ابری^۵ از محیط بوده که شامل اطلاعات مختصات سه‌بعدی نقاط محیط و سایر ویژگی‌های این نقاط از جمله ویژگی رنگی (RGB) آن‌ها می‌باشد (Audras *et al.*, 2011). در نقشه‌های شبکه اشغال، محیط توسط یک شبکه گستته

4- Disparity map

5- Block matching

6- Dense 3D map

7- Occupancy Grid maps

8- Point cloud

تعیین مکان تصاویر

تخمین میزان جابه‌جایی دوربین از جمله ملزومات هر سامانه دیداری متحرک به حساب می‌آید و در هر مرحله به دانستن موقعیت نسبی قاب کنونی دوربین نسبت به قاب پیشین یا قاب مرجع ثابت نیاز می‌باشد. در این تحقیق از مکان‌یابی دیداری جهت تعیین مکان دوربین استفاده شد. ایده اصلی در این روش، تخمین میزان حرکت از طریق دنبال کردن ویژگی‌های بصری مشخص در دنباله‌ای از تصاویر است (Milella *et al.*, 2009). به عبارتی می‌توان بیان کرد که هدف مکان‌یابی دیداری برآورد میزان رابطه دو تصویر متواالی و در نهایت ارتباط این رابطه با مبدأ مختصات مرجع می‌باشد. مکان‌یابی دیداری با استفاده از بینایی استریو شامل سه مرحله اصلی، استخراج و توصیف ویژگی‌های محیط، انطباق و ردیابی ویژگی‌ها در تصاویر استریو و تخمین میزان حرکت دوربین می‌باشد. روش‌های متنوعی جهت استخراج و توصیف نقاط ویژگی وجود دارد که در این تحقیق به علت پایین بودن نرخ انتشار تصاویر از روش ویژگی‌های مقاوم پر سرعت (سورف)^۶ جهت استخراج و توصیف ویژگی‌های محیط استفاده شد (Bay *et al.*, 2008). همچنین به علت تصویربرداری از محیط گلخانه در شرایط نور طبیعی و تغییرات شرایط روشنایی محیط گلخانه، باید از روشی که نسبت به این تغییرات مقاوم بوده استفاده نمود. به همین علت، جهت تخمین میزان حرکت دوربین از ویژگی‌های مقاوم پر سرعت استفاده شد که مستقل از انتقال، چرخش و مقیاس هستند و تا حد امکان نسبت به تغییرات شدت روشنایی تصاویر در محیط گلخانه و نویز مقاوم می‌باشند. در مرحله بعد، انطباق تصاویر استریو با استفاده از روش تطبیق متقاضان^۷ انجام شد. در این روش از معیار نزدیکترین همسایه^۸ در دو جهت استفاده شده است (Langaniere, 2011). برای ردیابی ویژگی‌ها در تصاویر استریو متواالی نیز مشابه تطبیق ویژگی‌های متناظر در جفت تصویر استریو از روش تعیین یک حد آستانه (در این تحقیق ۸/۰٪ انتخاب شده است) و نسبت نزدیکترین همسایه استفاده شد.

تخمین میزان حرکت (جابه‌جایی و دوران) دوربین استریو در دو مرحله تخمین میزان حرکت قاب به قاب تصاویر و تبدیل به مختصات جهانی انجام می‌شود. جهت تخمین میزان جابه‌جایی و دوران قاب به قاب تصاویر از روش 3D-2D استفاده شد (Longuet-Higgins, 1987; Nister *et al.*, 2004; Zhang, 1998). در این روش، موقعیت دوربین در قاب جدید براساس نقاط سه‌بعدی صحنه و ویژگی‌های دوبعدی ردیابی شده در تصویر جدید محاسبه می‌شود. مزیت این روش کاهش خطای بازافکنش می‌باشد که همین امر باعث

1- Speeded-Up Robust Features (SURF)

2- Symmetrical matching scheme

3- K-nearest neighbor

برابر ۰/۱۵ پیکسل می‌باشد. خطای اپیپولار زیر ۰/۲۵ پیکسل نشان‌دهنده دقت بالای نتیجه کالیبراسیون است (Camera calibration_ros software package). همچنین نتایج حاصل از فرآیند کالیبراسیون در جدول ۱ ارائه شده است. این نتایج پارامترهای داخلی و خارجی دوربین استریو را دربرمی‌گیرند. با توجه به جدول ۱، ماتریس دوربین در برگیرنده پارامترهای داخلی دوربین که شامل فاصله کانونی، نقطه اساسی هستند، می‌باشد. دوربین‌های استفاده شده در بینایی استریو باید دارای فاصله کانونی و نقطه اساسی یکسانی باشند (Bradski and Kaehler, 2008).

با توجه به جدول ۱، مقدار فاصله کانونی دوربین‌ها، (۷۲۳/۱۷، ۷۱۸/۹) برای دوربین سمت چپ و (۷۱۵/۹۲، ۷۱۹/۴۲) برای دوربین سمت راست، و همچنین مقدار نقطه اساسی، (۴۰/۰۹۷، ۴۸۸/۷۴) برای دوربین سمت چپ و (۴۹۰/۵۶، ۴۹۰/۲۸) برای دوربین سمت راست می‌باشند. با توجه به نزدیکی این مقدار به یکدیگر، نتیجه می‌شود که دوربین‌های انتخاب شده برای توسعه دوربین استریو مناسب می‌باشند.

ماتریس اعوجاج، اعوجاج‌های شعاعی و مماسی دوربین را در بر می‌گیرد (Bradski and Kaehler, 2008). طبق جدول ۱، اعوجاج شعاعی دارای مقدار ۰/۰۰۱۰۹۶، ۰/۰۰۷۹۵۹ و ۰/۰۰۷۹۵۹ برای دوربین سمت چپ و ۰/۰۰۵۴۲۰، ۰/۰۰۳۸۲۲۶ و ۰/۰۰۳۷۷۹ برای دوربین سمت چپ و ۰/۰۰۶۰۶۵ و ۰/۰۰۵۲۷ برای دوربین سمت راست می‌باشد.

پارامترهای خارجی که شامل ماتریس دوران تصویر دوربین سمت راست نسبت به تصویر دوربین سمت چپ می‌باشند در ماتریس یکسازی نمایش داده شده است. به عبارتی، ماتریس یکسازی میزان دوران‌های لازم در راستای محورهای X، Y و Z، جهت هم‌صفحه شده تصاویر چپ و راست می‌باشند (Bradski and Kaehler, 2008).

ماتریس افکنش که در برگیرنده پارامترهای داخلی و خارجی دوربین می‌باشد، میزان جایه‌جایی دوربین سمت راست نسبت به دوربین می‌باشد، میزان انتحراف بین دوربین‌های واقعی و دوران‌های Bradski and Kaehler (2008). با توجه به این که خطمنی دو دوربین در این تحقیق ۱۰ سانتی‌متر می‌باشد، بردار جایه‌جایی باید برای دوربین سمت راست میزان تقریبی ۱۰ سانتی‌متر در راستای محور X و مقدار صفر در راستای محورهای Y و Z را داشته باشد و همچنین برای دوربین چپ مقدار صفر در راستای سه محور مختصات را نشان دهد. طبق جدول ۱، میزان جایه‌جایی برای دوربین سمت چپ در راستای محورهای X، Y و Z را صفر و برای دوربین سمت راست در راستای محور X مقدار تقریبی ۰/۷۵ و برای محورهای Y و Z مقدار صفر را دربردارد که این نشان‌دهنده دقت کالیبراسیون می‌باشد (Camera-calibration_ros software package).

نمایش داده می‌شود که در آن هر سلوول (یا پیکسل در تصویر)، توسط یک مانع اشغال شده و یا این که خالی بوده و فضای آزاد به حساب می‌آید (Borenstein and Koren, 1991; Elfes, 1990). از مهم‌ترین امتیازات این نوع نقشه استفاده آن در طراحی مسیر و اکتشاف محیط می‌باشد که اطلاعات احتمالاتی مربوط به سلوول‌ها، پیچیدگی طراحی مسیر را کاهش می‌دهد.

همان‌طور که در بخش مقدمه ذکر شد، الگوریتم RTAB-Map یک روش گراف-مبنا بوده که جهت کاهش خطای مکان‌یابی و نقشه نیازمند تشخیص لوب‌کلوزر می‌باشد. به همین دلیل مسیر طراحی شده در محیط گلخانه، یک مسیر بسته در نظر گرفته شده است تا در انتهایی مسیر لوب‌کلوزر مورد نظر ایجاد شود (شکل ۴). جهت بهینه‌کردن گراف و کاهش خطاهای مکان‌یابی و نقشه، از روش تارو^۱ (TORO) استفاده شد. این روش که براساس الگوریتم اولسان^۲ توسعه پیدا کرده است با به کارگیری یک پارامتر درختی از گره‌ها در گراف باعث بهبود کافی در عملکرد ربات شده و آن را قادر به پیروی از توپولوژی‌های شبکه‌های نامنظم می‌نماید (Grisetti et al., 2007).

به منظور ایجاد نقشه از محیط گلخانه، تصاویر استریو با گام‌های ۳۰ سانتی‌متر برای مسیرهای مستقیم و ۶ درجه برای مسیرهای منحنی ثبت شد. برای محاسبه خطای در تخمین موقعیت دوربین، مکان‌های دوربین استریو که در هر گام به صورت دستی اندازه‌گیری شده بود با مکان‌های تخمین زده شده توسط الگوریتم با محاسبه فاصله اقلیدسی مقایسه شد (Nasiri et al., 2016; Shalal et al., 2015; Nasiri, 2017). با توجه به ثابت بودن ارتفاع دوربین استریو، خطای مکان‌ها با محاسبه فاصله اقلیدسی (D_E) بین نقاط تخمین زده شده (X_m , Y_m) و نقاط واقعی (X_a , Y_a) با استفاده از رابطه (۳) محاسبه شد (Shalal et al., 2015):

$$D_E = \sqrt{(x_a - x_m)^2 + (Y_a - Y_m)^2} \quad (3)$$

همچنین میزان خطای دوران دوربین استریو حول سه محور X، Y و Z با محاسبه میزان انحراف بین دوران‌های واقعی و دوران‌های تخمین زده به وسیله الگوریتم طراحی شده محاسبه شد (Nasiri, 2017).

نتایج و بحث

نتیجه حاصل از دقت فرآیند کالیبراسیون در شکل ۵ نمایش داده شده است. ستون سمت راست شکل ۵ دقت اندازه‌گیری را نمایش می‌دهد. به عبارتی، میزان خطای اپیپولار مهم‌ترین شاخص جهت تشخیص یک فرآیند کالیبراسیون موفق می‌باشد. با توجه به شکل ۵، میزان خطای اپیپولار در سمت راست تصویر نمایش داده شده که



شکل ۵- نتیجه کالیبراسیون دوربین استریو

Fig. 5. Result of stereo camera calibration

جدول ۱- نتایج کالیبراسیون دوربین استریو

Table 1- Result of the stereo camera calibration

	دوربین چپ Left camera	دوربین راست Right camera
ماتریس-دوربین Camera_matrix	[723.174020, 0, 488.740816, 0, 718.920051, 300.977549, 0, 0, 1]	[719.429436, 0, 490.562927, 0, 715.922235, 292.287665, 0, 0, 1]
ماتریس-اعوجاج Distortion_coefficients	[0.001096, -0.007959, 0.008296, 0.003779, 0.000000]	[0.005420, -0.038226, 0.006065, 0.000527, 0.000000]
ماتریس-یکسوزاژی Rectification_matrix	[0.999944, -0.010030, 0.003299, 0.010017, 0.999943, 0.003811, -0.003337, -0.003778, 0.999987]	[0.999948, -0.009683, -0.003222, 0.009671, 0.999946, -0.003810, 0.003259, 0.003779, 0.999988]
ماتریس-افکنش Projection_matrix	[733.239376, 0, 491.911057, 0.000000, 0, 733.239376, 301.681948, 0, 0, 0, 1, 0]	[733.239376, 0, 491.911057, -70.163608, 0, 733.239376, 301.681948, 0, 0, 0, 1, 0]

انسانی و یا تراز نبودن مسیرهای حرکت در محیط گلخانه رخ داده باشند (Nasiri, 2017). در پژوهشی با به کارگیری دوربین استریو، میانگین درصد خطای برای مسافت طی شده به مقدار تقریبی $1/15$ متر و میزان دوران در محدوده {۵-۵} درجه، $0/0.125$ متر و $0/873$ درجه به ترتیب برای جابه جایی و دوران حاصل شد (Yu et al., 2008). در مقایسه با پژوهش ذکر شده، الگوریتم طراحی شده با در نظر گرفتن مسافت پیموده شده $32/7$ متری دارای دقت مطلوبی می باشد.

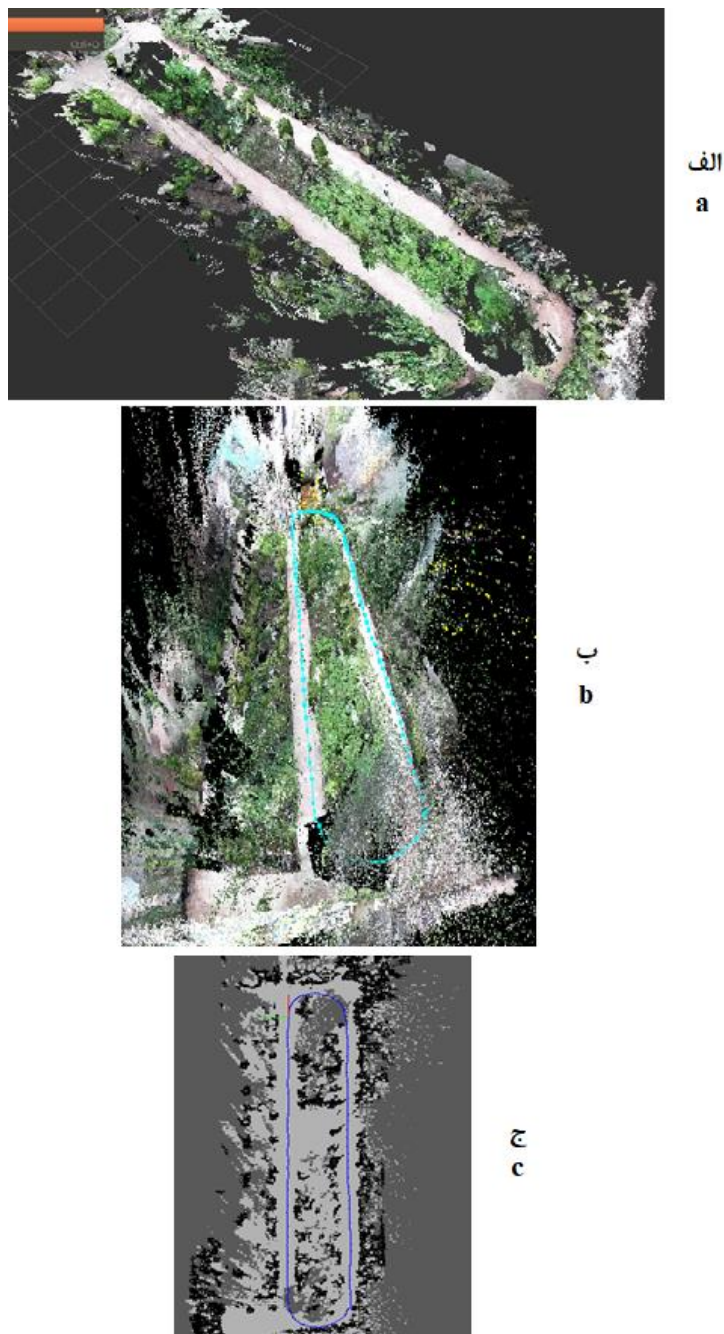
مکان‌بایی و ایجاد نقشه همزمان در محیط‌های کشاورزی، خصوصاً در گلخانه، زمینه تحقیقاتی نسبتاً جدیدی است که توسط محققین مورد توجه قرار گرفته است. در این تحقیق با استفاده از یک دوربین استریو، به مکان‌بایی و ایجاد نقشه همزمان (SLAM) در محیط گلخانه پرداخته شد حال آن که محققان دیگر از حس‌گرهای Auat Cheein et al., 2011; Lepej and Rakun, 2016 در پژوهشی با استفاده از یک دوربین و لیزر اسکنر، مکان‌بایی و ایجاد نقشه همزمان در محیط کشاورزی در مسیر پیموده شده 192 متری دارای میانگین خطای $0/45$ متر بود (Lepej and Rakun, 2016). نتایج به دست آمده نشان می دهد که استفاده از دوربین استریو نتایج بهتری را نسبت به

تعداد تصاویر گرفته شده از محیط گلخانه 150 جفت تصویر و مسافت طی شده تقریبی $32/7$ متر می باشد. نقشه سه بعدی ایجاد شده با استفاده از تصاویر استریو تهیه شده، نقشه سه بعدی همراه با مسیر تخمین زده شده حرکت دوربین (ترسیم شده با گراف آبی) و همچنین نقشه شبکه اشغال ایجاد شده برای این تصاویر در شکل ۶ نمایش داده شده است. با توجه به شکل (ع-ج)، رنگ سیاه نشان‌دهنده موانع (گلدانها و گیاهان کشت شده در بستر کشت)، رنگ خاکستری روشن نشان‌دهنده مکان‌های شناخته شده، رنگ خاکستری تیره نشان‌دهنده مکان‌های ناشناخته و خطوط آبی مسیر تخمین زده شده دوربین استریو می باشند.

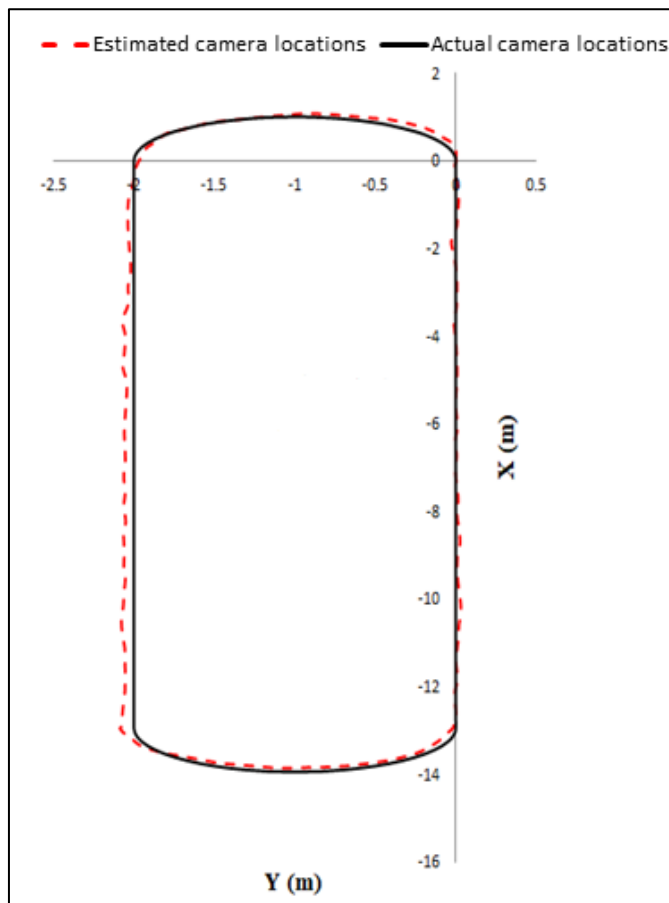
شکل ۷ مکان‌های واقعی و تخمین زده شده دوربین استریو را نمایش می دهد. همچنین جدول ۲ میزان خطای مکان‌بایی دوربین استریو را ارائه می دهد. با توجه به جدول ۲، میانگین خطای مکان‌بایی دوربین در مسافت $32/7$ متر، $0/0.679412$ متر، انحراف معیار $0/0.456431$ متر و ریشه میانگین مربع خطای $0/0.75569$ متر می باشد. همچنین در جدول ۳ میزان خطای دوران دوربین استریو ارائه داده شده است. با توجه به جدول ۳، میزان خطای دوران دوربین استریو حول محور X، محور Y و محور Z به ترتیب دارای مقادیر $0/0.26387$ و $0/0.277271$ و $0/0.26387$ بوده که می تواند در اثر خطای

مزیت‌های این الگوریتم تشخیص لوپ‌کلوزر می‌باشد. لوپ‌کلوزر مسیرهای تکراری حرکت را مشخص کرده که با استفاده از این ویژگی می‌توان به کاهش تعداد عملیات مزرعه، افزایش بازده، به حداقل رساندن فشردگی و در نتیجه افزایش سود و بازدهی دست یافت (Nasiri, 2017).

حسگرهای ترکیبی به دست می‌آورد. همچنین استفاده از دوربین استریو نسبت به سایر حسگرهای نمایش دقیق‌تری از واقعیت محیط ایجاد می‌کند (Bhatti, 2011). با استفاده از این مزیت می‌توان به اطلاعاتی از قبیل پیگیری توسعه پوشش‌های گیاهی، اندازه‌گیری پارامترهای مهم فیزیکی محصول از قبیل اندازه و حجم و اطلاعات رشد آن دست یافت (Rovira-Mas *et al.*, 2008). همچنین یکی از



شکل ۶ - (الف) نقشه سه‌بعدی، (ب) نقشه سه‌بعدی همراه با مسیر تخمین زده شده دوربین و (ج) نقشه دو‌بعدی محیط گلخانه
Fig.6. a) 3D map, b) 3D map with estimated camera path and c) 2D map of greenhouse



شکل ۷- مکان‌های واقعی و تخمین زده شده دوربین استریو

Fig.7. Actual and estimated camera locations

جدول ۲- مقادیر خطا در تخمین مکان دوربین استریو

Table 2- Error values to estimate the position of the stereo camera

طول مسیر Length of path (m)	خطای کمینه Min error (m)	خطای بیشینه Max error (m)	میانگین خطا Mean error (m)	انحراف معیار استاندارد Standard deviation(m)	ریشه میانگین مربع خطا RMSE (m)
32.7	0.0071809	0.221712	0.0679412	0.0456431	0.0075569

جدول ۳- مقادیر میانگین خطا در تخمین دوران دوربین استریو

Table 3- Average error values in the estimation of stereo camera rotation angles

چرخش در راستای Z Rotate in the Z direction (rad)	چرخش در راستای Y Rotate in the Y direction (rad)	چرخش در راستای X Rotate in the X direction (rad)
0.026387	0.277271	0.026387

می‌باشد. روش ارائه شده در این تحقیق جهت مکان‌یابی و ایجاد نقشه همزمان در محیط گلخانه، بر مبنای استفاده از مختصات سه‌بعدی اجزای محیط، که از سامانه بینایی استریو به دست می‌آیند، استوار است. جهت برآورد این هدف از چارچوب راس استفاده شد. جهت

نتیجه‌گیری

به علت خطرپذیر بودن بسیاری از عملیات‌های کشاورزی، خودکار نمودن آن‌ها غیر قابل اجتناب است. مکان‌یابی و ایجاد نقشه همزمان (SLAM) گامی ضروری در خودکار کردن عملیات‌های کشاورزی

برآورد دقت الگوریتم، فاصله اقلیدسی بین مکان‌های تخمین زده شده
۰/۰۴۵۶۴۳۱ متر و ریشه میانگین مربع خطای ۰/۰۰۷۸۵۶۹ متر برای مسافت ۳۲/۷ متری پیموده شده
توسط دوربین استریو می‌باشد.

برآورد دقت الگوریتم، فاصله اقلیدسی بین مکان‌های تخمین زده شده بهوسیله الگوریتم و نقاط واقعی محاسبه شد. نتایج حاصل از این تحقیق نشان داد که الگوریتم معرفی شده دارای میانگین خطای

References

1. Audras, C., A. Comport, M. Meilland, and P. Rives. 2011. Real-time dense appearance-based slam for rgbd sensors. In: Australasian Conf. on Robotics and Automation.
2. Auta Cheein, F. A., G. Steiner, G. P. Paina, and R. Carelli. 2011. Optimized EIF-SLAM algorithm for precision agriculture mapping based on stems detection. Computers and Electronics in Agriculture 78: 195-207.
3. Barth, R., J. Hemming, and E. J. V. Henten. 2016. Design of an eye-in-hand sensing and servo control framework for harvesting robotics in dense vegetation. Biosystems Engineering 146: 71-84.
4. Bay, H., A. Ess, T. Tuytelaars, and L. Van Gool. 2008. Speeded-up robust features (SURF). Computer Vision and Image Understanding 110: 346-359.
5. Bhatti, A. 2011. Global 3D Terrain Maps for Agricultural Applications. Pages 227-242 in Rovira-Más F, ed. Advances in theory and applications of stereo vision. InTech. Croatia.
6. Borenstein, J., and Y. Koren. 1991. The vector field histogram-fast obstacle avoidance for mobile robots. IEEE Transactions on Robotics and Automation 7 (3): 278-288.
7. Bradski, G., and A. Kaehler. 2008. Learning OpenCV: Computer vision with the OpenCV library. O'Reilly Media, Inc. Sebastopol, CA.
8. Craig, J. J. 2005. Introduction to robotics: mechanics and control. Pearson Prentice Hall. Upper Saddle River, New Jersey, USA.
9. Cyganek, B., and J. P. Siebert. 2009. An Introduction to 3D Computer Vision Techniques and Algorithms. John Wiley & Sons, Ltd. United Kingdom.
10. Diebel, J., K. Reutersward, S. Thrun, J. Davis, and R. Gupta. 2004. Simultaneous Localization and Mapping with Active Stereo Vision. IEEE/RSJ International Conference on Intelligent Robots and Systems pp: 3437-3443.
11. Elfes, A. 1990. Occupancy grids: Astochastic spatial representation for active robot perception. In: Proceedings of the Sixth Conference on Uncertainty in AI.
12. Eliazar, A. 2003. DP-SLAM: Fast, robust simultaneous localization and mapping without predetermined landmarks. International Joint Conference on Artificial Intelligence.
13. Eliazar, A. I., and R. Parr. 2004. DP-SLAM 2.0. Robotics and Automation. Proceedings. ICRA '04. 2004 IEEE International Conference.
14. Estrada, C., J. Neira, and J. D. Tardos. 2005. Hierarchical SLAM: Real-Time Accurate Mapping of Large Environments. Robotics, IEEE Transactionson 21 (4): 588-596.
15. Grisetti, G., C. Stachniss, and W. Burgard. 2005. Improving grid based SLAM with Rao blackwellized particle filters by adaptive proposals and selective resampling. In Proceedings of the IEEE international conference on robotics and automation pp: 2432-2437.
16. Grisetti, G., C. Stachniss, and W. Burgard. 2007. Improved techniques for grid mapping with rao-blackwellized particle filters. IEEE Transactions in Robotics 23: 34-46.
17. Grisetti, G., R. Kuemerle, C. Stachniss, and W. Burgard. 2010. A tutorial on graph-based SLAM. IEEE Transactions on Intelligent Transportation Systems 2: 31-43.
18. Kim, G. H., J. S. Kim, and K. S. Hong. 2005. Vision-based Simultaneous Localization and Mapping with Two Cameras. IEEE/RSJ international Conference on Intelligent Robots and Systems.
19. Kitt, B., A. Geiger, and H. Lategahn. 2010. Visual odometry based on stereo image sequences with RANSAC-based outlier rejection scheme. In Intelligent Vehicles Symposium. University of California, San Diego, CA, USA.
20. Kohlbrecher, S., J. Meyer, O. von Stryk, and U. Klingauf. 2011. A flexible and scalable SLAM system with full 3D motion estimation. In Proceedings of the 2011 IEEE international symposium on safety, security and rescue robotics. Japan, pp: 155-160.
21. Kohlbrecher, S., J. Meyer, T. Gruber, K. Petersen, U. Klingauf, and O. Stryk. 2013. Hector open source modules for autonomous mapping and navigation with rescue robots. TU Darmstadt, Germany, Department of Computer Science.
22. Labb  , M., and F. Michau. 2014. Online Global Loop Closure Detection for Large-Scale Multi-Session Graph-Based SLAM. in IEEE/RSJ International Conference on Intelligent Robots and Systems.
23. Labb  , M., and F. Michaud. 2011. Memory management for real-time appearance-based loop closure detection. in IEEE/RSJ International Conference on Intelligent Robots and Systems.
24. Labb  , M., and F. Michaud. 2013. Appearance-Based Loop Closure Detection for Online Large-Scale and Long-Term Operation. IEEE Transactions on Robotics 29: 734-745.
25. Langaniere, R. 2011. OpenCV 2 Computer Vision Application Programming Cookbook.

26. Leonard, J., and H. Durrant-Whyte. 1991. Mobile robot localization by tracking geometric beacons. *IEEE Transactions on Robotics and Automation* 7: 376-382.
27. Lepej, P., and J. Rakun. 2016. Localization and mapping in a complex field environment. *Biosystems engineering* 150: 160-169.
28. Li, M. H., B. R. Hong, Z. S. Cai, S. H. Piao, and Q. C. Huang. 2008. Novel indoor mobile robot navigation using monocular vision. *Engineering Applications of Artificial Intelligence* 21: 485-497.
29. Longuet-Higgins, H. 1987. A computer algorithm for reconstructing a scene from two projections. *Readings in Computer Vision: Issues, Problems, Principles, and Paradigms*, MA Fischler and O. Firschein, eds pp: 61-62.
30. Milella, A., B. Nardelli, D. Di Paola, and G. Cicirelli. 2009. Robust Feature Detection and Matching for Vehicle Localization in Uncharted Environments. In *Proceedings of the IEEE/RSJ IROS Workshop Planning, Perception and Navigation for Intelligent Vehicles*. Saint Louis, USA.
31. Montemerlo, M., S. Thrun, D. Koller, and B. Wegbreit. 2002. FastSLAM: a factored solution to the simultaneous localization and mapping problem. In *AAAI National Conference on Artificial Intelligence*
32. Mousazadeh, H. and S. Javan bakht. 2015. *Mechatronics and Intelligent Systems for Off-road Vehicles*. University of Tehran (1th ed.). (In Farsi).
33. Nasiri, A. 2017. Creation of pathway map in a greenhouse environment using localization of cultivation platform based on stereo machine vision. Ph. D. dissertation. University of Tehran. (In Farsi).
34. Nasiri, A., H. Mobli, S. Hosseinpour, and Sh. Rafiee. 2016. Creation greenhouse environment map using localization of edge of cultivation platforms based on stereo vision. *Journal of Agricultural Machinery* 7 (2): 336-349. (In Farsi).
35. Nister, D. 2003. An efficient solution to the five-point relative pose problem. In *IEEE Computer Society Conference on Computer Vision and Pattern Recognition* 2: II-195.
36. Nister, D., O. Naroditsky, and J. Bergen. 2004. Visual odometry. In: *Proceedings of the 2004 IEEE Computer Society Conference on Computer Vision and Pattern Recognition* 1: I-652.
37. Pierzchała, M., P. Giglière, and R. Astrup. 2018. Mapping forests using an unmanned ground vehicle with 3D LiDAR and graph-SLAM. *Computers and Electronics in Agriculture* 145: 217-225.
38. ROS camera_calibration_ros software stack. Retrieved from: http://wiki.ros.org/camera_calibration_ros.
39. Rovira-Más, F., Q. Zhang, and J. F. Reid. 2008. Stereo vision three-dimensional terrain maps for precision agriculture. *Computers and Electronics in Agriculture* 60: 133-143.
40. Shalal, N., T. Low, Ch. McCarthy, and N. Hancock. 2015. Orchard mapping and mobile robot localization using on-board camera and laser scanner data fusion – Part B: Mapping and localization. *Computers and Electronics in Agriculture* xxx: xxx–xxx.
41. Thrun, S., W. Burgard, and D. Fox. 1998. A probabilistic approach to concurrent mapping and localization for mobile robots. *Autonomous Robots* 3: 18.
42. Thrun, S., W. Burgard, and D. Fox. 2005. *Probabilistic robotics*. Cambridge, USA: The MIT Press.
43. Vázquez-Arellano, M., D. Reiser, D. S. Parafos, M. Garrido-Izard, Me. C. Burce, and H. W. Griepentrog. 2018. 3-D reconstruction of maize plants using a time-of-flight camera. *Computers and Electronics in Agriculture* 145: 235-247.
44. Zhang, Z. 1998. A flexible new technique for camera calibration. Available at: <http://citeseer.ist.psu.edu/316762.html>.
45. Zhang, Z. 1999. Flexible camera calibration by viewing a plane from unknown orientations. In *Computer Vision. The Proceedings of the Seventh IEEE International Conference on*. Kerkyra, Greece.

Simultaneous Localization and Mapping in Greenhouse with Stereo Vision

Z. Khosrobeygi¹, Sh. Rafiee^{2*}, S. S. Mohtasebi³, A. Nasiri⁴

Received: 03-01-2019

Accepted: 06-03-2019

Introduction

Increasing the production efficiency is an important goal in precision farming. The use of precision farming requires a lot of labor work. Also, due to the risk of agricultural operations, it is not recommended to do it directly by humans. Therefore, it is necessary for agricultural operations to be carried out automatically. For this reason, the application of robotics in agricultural environments, especially in the greenhouse, is increasing. The first step in automatic farming is autonomous navigation. For autonomous navigation, a robot must be the ability to understand its environment and recognize its position. In other words, a robot must be able to create a map of an unknown environment, locate itself on this map and finally plane for the path. This problem is solvable by Simultaneous Localization and Mapping (SLAM). The SLAM problem is a recursive estimation process. In the other words, when a robot moves in an unknown environment, mapping and localization errors increase incrementally. To reduce these two errors, a recursive estimation process is used to solve the SLAM problem.

Materials and Methods

In this research, two webcams, made by Microsoft Corporation with the resolution of 960×544, are connected to the computer via USB2 in order to produce a stereo parallel camera. For this study, we used a greenhouse that was located the Arak, Iran. Before taking stereo images, a camera path was designed in the greenhouse. This path may be either straight or curved. The designed path was implemented in the greenhouse. The entire path traversed by a stereo camera was 32.7 m and 150 stereo images were taken. Graph-SLAM algorithm was used for Simultaneous Localization and Mapping in the greenhouse. Using the ROS framework, the SLAM algorithm was designed with nodes and network for connecting the nodes.

Results and Discussion

For evaluation, the stereo camera locations, every step was measured manually and compared with the stereo camera locations that were estimated in the graph-SLAM algorithm. The position error was calculated through the Euclidean distance (D_E) between the estimated points and the actual points. The results of this study showed that, the proposed algorithm has an average of error 0.0679412, standard deviation of 0.0456431 and root mean square error (RMSE) of 0.0075569 for camera localization.

In this research, only a stereo camera was used to prepare a map of the environment, but other researches have used multiple sensor combinations. Another advantage of this research related to others was created a 3D map (point cloud) of the environment and loop closer detection. In the 3D map, in addition to determining the exact location of the plant, the height of the plant can also be estimated. Plant height estimate is important in some agricultural operations such as spot spray, harvesting and pruning.

Conclusions

Due to the risk of agricultural activities, the use of robotics is essential. Autonomous navigation is one of the branches of the robotics. For autonomous navigation, a map of environment and localization in this map is need. The purpose of our research was to provide simultaneous localization and mapping (SLAM) in agricultural environments. ROS is a strong framework for solving the SLAM problem. So that, this problem can be solved by combining different nodes in ROS. The method depended only on the information from the stereo camera because stereo camera provided exact distance information. We believe that this study will contribute to the field of autonomous robot applications in agriculture. In future studies, it is possible to use an actual robot in the greenhouse with various sensors for SLAM and path planning.

Keywords: Greenhouse, ROS, Simultaneous Localization and Mapping (SLAM), Stereo vision

1- PhD student, Department of Mechanics of Biosystem, Faculty of Engineering & Technology, College of Agriculture & Natural Resources, University of Tehran, Karaj, Iran

2- Professor, Department of Mechanics of Biosystem, Faculty of Engineering & Technology, College of Agriculture & Natural Resources, University of Tehran, Karaj, Iran

3- Professor, Department of Mechanics of Biosystem, Faculty of Engineering & Technology, College of Agriculture & Natural Resources, University of Tehran, Karaj, Iran

4- Former Ph.D. student, Department of Mechanics of Biosystem, Faculty of Engineering & Technology, College of Agriculture & Natural Resources, University of Tehran, Karaj, Iran

(*- Corresponding Author Email: Shahinrafiee@ut.ac.ir)

